

## アンボンドPCはりの繰返し荷重下における塑性変形特性

京都大学 正員 岡田 清 京都大学 正員 小林和夫  
京都大学 学生員 井上 晋 日本国土開発 正員○藤田高浩

### 1. まえがき

アンボンドPC部材はボンドPC部材に較べて施工上有利な点が多いが、フォーリングブランチ領域までを含めた塑性域における耐荷性状や変形特性に関してはまだ不明な点が多いようである。本研究は、PC鋼材指數と拘束筋ピッチを主因子に選定したアンボンドおよびボンドPCはりを合計24体作製し、一方方向ならびに正負交番繰返し載荷試験を行なうことにより、両PCはりの耐荷性状と塑性変形特性を比較検討したものである。

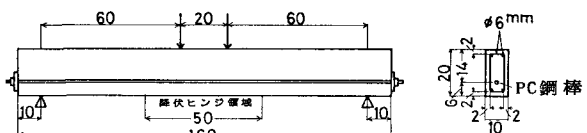
### 2. 実験計画

PCはりの断面形状・寸法を図1に示す。実験因子としてはi) PC鋼材の付着の有無、ii) 鋼材指數  $q$  ( $= A_{pc} / \rho_{pc} b_{pc}$ )、iii) 拘束筋（閉口スタートラップ）ピッチの3つを設定した。ii)に関しては、日本建築学会規準、ニュージーランド規準を参考にして3レベルを採り上げた。iii)に関しては、スパン中央の降伏ヒンジ領域（長さ50cm）に配置する拘束筋のピッチを $\frac{1}{4}$  (=3.5cm)、 $\frac{1}{2}$  (=7cm)、および配置しないものの3種類とした。ただし設計基準強度は $P_{ek}=450\text{kg/cm}^2$ とした。また、いずれのはりも計算上せん断破壊が先行しないよう、土木学会PC標準示方書に従ってせん断スパンにせん断補強を施した。以上の組合せにより一方向載荷用に18体、正負交番載荷用に6体作製した。供試はりの種類を表1に示す。

### 3. 実験方法

i) 一方向繰返し載荷試験：スパン中央のコンクリート圧縮繰り返しを測定しながら1000μ、2000μ、2500μ、3000μ、の各荷重レベル、および最大荷重、さらにフォーリングブランチ領域までスパン中央のたわみが25mm ( $\delta_0 = 1/56$ )、40mm ( $\delta_0 = 1/35$ ) の荷重レベルごとに各一回ずつ除荷、再載荷による繰返し載荷を行なった。

ii) 正負交番繰返し載荷試験：各繰返し荷重レベルに対応するたわみがi)ご試験した同一条件のはりと等しくなる荷重ご



注) 図示したのは一方向繰返し載荷試験用のはりで、正負交番繰返し載荷試験用のはりにはPC鋼棒を上下対称に2本配置した。

図1 はりの断面形状・寸法

表1-(1) はりの種類・耐力 (一方向)

供試体No.	PC鋼材の付着の有無	鋼材指數 $q$	拘束筋ピッチ $s(\text{cm})$	PC鋼棒(端一径)	導入プレストレス $O_{cp}(\text{kg/cm}^2)$		ひびわれ発生荷重 $P_{cr}(t)$	最大耐力 $P_u(t)$
					上綫	下綫		
1	無	0.133	3.5	B-Ø11	-4.2	81.0	3.6	5.80
2			7.0		-8.5	81.2	3.6	5.40
3			7.0		0.0	80.8	3.4	5.93
5			3.5		-4.3	82.5	3.6	6.64
6			7.0		-4.4	84.0	3.2	6.64
7			7.0		-5.7	81.1	3.6	6.86
9	有	0.216	3.5	B-Ø13	-8.6	110.1	4.0	7.70
10			7.0		-18.6	85.4	3.6	7.26
11			7.0		-30	112.6	4.0	7.30
13			3.5		-8.7	112.9	4.4	7.80
14			7.0		-7.4	115.7	4.0	8.00
15			7.0		-8.8	114.3	3.6	8.52
17	無	0.241	3.5	A-Ø17	-15.1	159.3	5.6	9.08
18			7.0		-19.1	159.5	5.6	8.66
19			7.0		-31.3	161.5	5.6	8.87
21			3.5		-24.5	161.1	5.2	9.57
22			7.0		-38.0	110.8	5.2	9.39
23			7.0		-33.9	160.3	5.8	10.20

表1-(2) はりの種類・耐力 (正負交番)

No.	付着の有無	q	s(cm)	PC鋼棒(端一径)	$O_{cp}(\text{kg/cm}^2)$	正方向負方向		正方向負方向	
						正方向	負方向	正方向	負方向
4	無	0.133	3.5	B-Ø11	77.5	3.5	3.2	7.26	5.80
8					7.4	3.6	3.6	7.30	6.70
12					102.2	3.6	3.6	7.60	6.22
16					102.8	3.2	3.2	8.20	7.74
20	有	0.241	7.0	A-Ø17	121.2	5.1	5.1	9.08	8.20
24					138.4	5.2	4.8	10.33	9.28

KIYOSHI OKADA, KAZUO KOBAYASHI, SUSUMU INOUE, TAKAHIRO FUJITA

各サイクルでの正負最大たわみが同一となるようたわみ制御下で交番載荷を行なった。

#### 4. 実験結果および考察

曲げひびわれ発生荷重と最大耐力を表1に、最大耐力と鋼材指数の関係の一例を図2に示す。正負交番載荷での正負方向最大荷重の比( $P/P_{max}$ )と正方向最大荷重と最大耐力との比( $P/P_{max}$ )との関係を図3に、変形回復率( $\alpha$ )および等価粘性減衰常数( $h_{eq}$ )と各サイクルの最大荷重と最大耐力との比( $P/P_{max}$ )との関係の一例を図4、図5に示す。さらにじん性率( $\mu$ )と鋼材指数( $q$ )の関係の一例を図6に示す。

(1)耐荷特性：アンボンドPCはりはボンドPCはりと比較して、曲げひびわれ発生荷重は低下しないが(表1)、最大耐力は低下する。その低下の程度は、鋼材指数 $q$ が0.133では15~20%、 $q=0.20\sim0.24$ では10%程度である(図2)。また、PCはりが正負両方向に対し等しいたわみ制御下で交番載荷を受けるとき、負方向最大荷重は正方向より5~30%低下する。この低下の程度は荷重レベルで変化するが、アンボンドPCはりはボンドPCはりより顕著である。(図3)

(2)塑性変形特性：アンボンドPCはりでは、ボンドPCはりに比較してフォーリングブランチ領域も含めて除荷時の変形回復率が高くなる傾向が認められる。その様相は拘束筋ピッチが $\frac{1}{4}$ の場合に特に顕著である(図4)。また、PC鋼材の付着の有無が $h_{eq}$ におよぼす影響の程度は $q$ でかなり相異し、 $q=0.13$ 程度ではアンボンドPCはりはボンドPCはりに較べ $h_{eq}$ がかなり小さいが、 $q=0.216\sim0.241$ ではその影響がきわめて小さくなる(図5-(1))。しかし、正負交番載荷下では一方向載荷より付着の劣化が著しくなるため、 $q=0.133$ の場合でも $h_{eq}$ はアンボンドPCはりの方がむしろ大きくなる傾向すら認められる(図5-(2))。さらに、拘束筋を配置しないアンボンドPCはりはボンドPCはりと比べてじん性が劣るが、その配置により著しく改善され、 $q=0.216\sim0.241$ のアンボンドPCはりでも $\frac{1}{4}$ ピッチの拘束筋で $\gamma$ 以上のじん性が確保できる(図6)。(参考文献) 例えれば、岡田清、藤井学、小林和夫：アーチレストコンクリート構造学

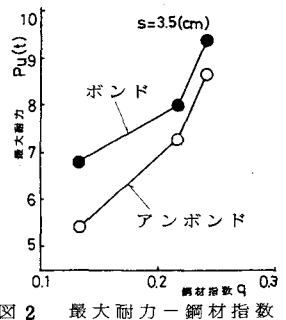


図2 最大耐力-鋼材指數

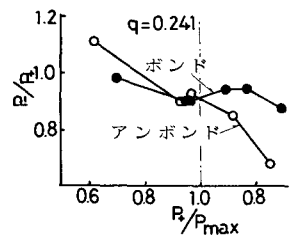


図3 正負方向荷重比

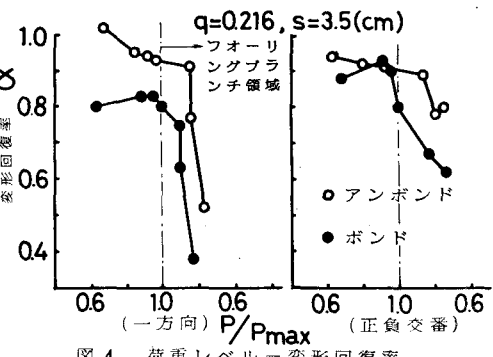


図4 荷重レベル-変形回復率

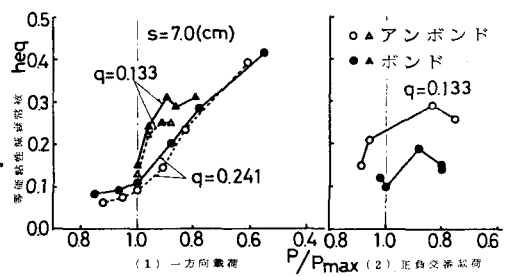


図5 荷重レベル-等価粘性減衰常数

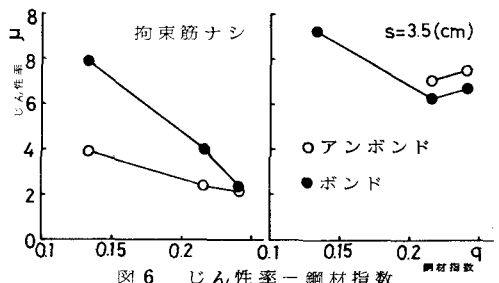


図6 じん性率-鋼材指數